

рис. 3. Интересно, что концентрация положительных ионов внутри «голубого» конуса при помещении пламени в электрическое поле также уменьшается [4]. Оказалось, что и концентрация нейтральных промежуточных продуктов горения H_2 и CO при наложении на пламя внешнего электрического поля изменяется (рис. 4). При этом внутри «голубого» конуса относительные концентрации H_2 и CO падают, а снаружи — увеличиваются независимо от полярности горелки.

Таким образом, установлено, что под влиянием внешнего электрического поля снижаются концентрации молекул H_2 и CO и уменьшается интенсивность излучения радикалов CH^* и C_2^* . Это позволяет предположить наличие на этапе подготовки топлива цепочки «обратной связи» типа: топливо — промежуточные продукты — активные частицы, в том числе CH^* и C_2^* — ионы — топливо или промежуточные продукты.

Поступила в редакцию
15/1 1980

ЛИТЕРАТУРА

- Дж. Лэутон, Ф. Вайнберг. Электрические аспекты горения. М., Энергия, 1976.
- А. Б. Фиалков, В. К. Муратлев, Б. С. Фиалков. В сб.: Спектроскопия и прикладная физика. Караганда, Изд-во КазГУ, 1979.
- Е. М. Степанов, Б. Г. Дьячков. Ионизация в пламени и электрическое поле. М., Металлургия, 1968.
- Н. Д. Щербаков, Б. С. Фиалков. Тез. докл. 11 семинара по электрофизике горения. Караганда, 1979.

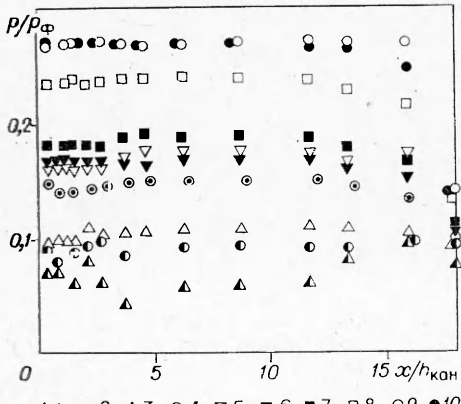
ВЛИЯНИЕ ПОДМЕШИВАНИЯ H_2 В ОСНОВНОЙ ПОТОК НА ДОННОЕ ДАВЛЕНИЕ ПРИ СВЕРХЗВУКОВОМ ГОРЕНИИ

B. A. Константиновский
(Новосибирск)

Исследования процессов, происходящих при диффузионном горении водорода в сверхзвуковом потоке в плоском канале с внезапным расширением, достаточно подробно изложены в работе [1]. Показано, что при подаче водорода только через уступ в камере организуется двухслойное течение. Тепловыделение происходит в основном в дозвуковом слое (~70%), причем при коэффициентах избытка воздуха в камере $\alpha_k \geqslant 9$, пламя целиком помещается в канале и полнота сгорания $\eta = 0,98 \div 1,0$. При обогащении смеси ($\alpha_k < 9$) полнота сгорания резко снижается в связи с тем, что в пределах канала не завершается смешение.

Один из возможных способов изменения распределения топлива в потоке — подмешивание его части к воздуху в форкамере. Режим с таким распределением топлива является промежуточным между диффузионным и гомогенным горением. Естественно предположить, что такая схема подачи водорода не улучшит полноту сгорания при одинаковых суммарных коэффициентах избытка воздуха, но доля тепловыделения в сверхзвуковом слое может увеличиться.

Настоящая работа проведена на установке, описанной в [1]. Камера сгорания представляет собой канал прямоугольного сечения с размерами 40×60 мм длиной 1080 мм, высота уступа на входе 40 мм. Стены камеры неохлаждаемые. Газообразный водород подавался в рабочую часть через щель ($3,25 \times 40$ мм) в верхней части уступа. Помимо основного водорода, пода-



Rис. 1. Распределение статического давления по длине канала (h — высота канала).

ваемого за уступ (G''_{H_2}), часть водорода G'_{H_2} подмешивалась в воздух в форкамере без горения.

Эксперименты проводились при скорости основного потока на входе в камеру, соответствующей числу $M=2$, давлении в форкамере $p_\Phi=8$ ата и температуре $T=290$ К. Коэффициенты избытка воздуха для подмешиваемого основного и суммарного расхода водорода определялись соответственно из выражений

$$\alpha' = \frac{G_B}{G'_{H_2} L_0}; \quad \alpha'' = \frac{G_B}{G_{H_2} L_0}; \quad \alpha_\Sigma = \frac{G_B}{(G'_{H_2} + G''_{H_2}) L_0},$$

откуда

$$\alpha_\Sigma = \frac{\alpha' \alpha''}{\alpha' + \alpha''},$$

и изменялись во время эксперимента: $\alpha'=3,3 \div 24,3$; $\alpha''=4,4 \div 65,3$; $\alpha_\Sigma=3,0 \div 16,6$. Здесь G_B — расход воздуха, L_0 — стехиометрический коэффициент. Относительный теплоподвод и полнота сгорания составляли соответственно 2,18—2,75 и 0,52—0,75.

В одномерном приближении тепловыделение характеризуется распределением статического давления по длине канала. На рис. 1 представлены наиболее характерные режимы.

Номер точки рис. 1	α'	α''	α_Σ	Номер точки рис. 1	α'	α''	α_Σ
1	21,7	47,6	14,9	6	22,0	7,8	5,2
2	9,5	47,6	7,9	7	15,1	6,4	4,4
3	9,8	22,1	6,8	8	4,3	9,6	3,0
4	24,3	10,3	7,3	9	5,7	5,8	2,8
5	6,0	14,2	4,2	10	6,4	6,4	3,2

Режимы 9, 10 соответствуют «тепловому запиранию» канала. Общепринятые методики обработки экспериментальных данных не позволяют получить никаких-либо обобщающих зависимостей. Предлагаемый подход основан на чистом смешении без учета химических реакций.

Схема течения представлена на рис. 2: I — зона горения основного водорода; II — увеличение зоны горения за счет подмешивания части $\Delta G'_{H_2}$. Для зоны II фактический коэффициент избытка в конце зоны горения определяется из выражения

$$\alpha_\Phi = \frac{G_{B\Phi}}{G''_{H_2} L_0}, \quad (1)$$

где $G_{B\Phi}$ — расход воздуха, физически подмешанный в зону II.

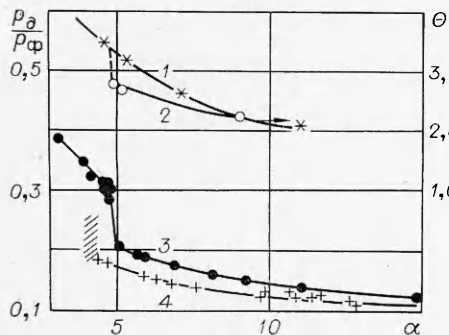


Рис. 3. Зависимость относительных подогрева и донного давления от коэффициента избытка воздуха.

1 — теоретический относительный подогрев, $\eta=1$; 2 — действительный подогрев; 3 — максимальное сопротивление; 4 — минимальное сопротивление.

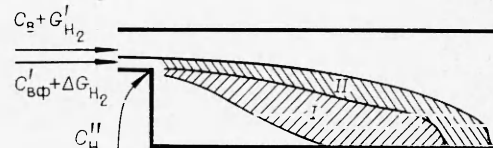


Рис. 2. Схема течения.

$$\alpha_\Sigma = \frac{\alpha' \alpha''}{\alpha' + \alpha''},$$

$$\alpha_\Sigma = \frac{\alpha' \alpha''}{\alpha' + \alpha''},$$

и изменялись во время эксперимента: $\alpha'=3,3 \div 24,3$; $\alpha''=4,4 \div 65,3$; $\alpha_\Sigma=3,0 \div 16,6$. Здесь G_B — расход воздуха, L_0 — стехиометрический коэффициент. Относительный теплоподвод и полнота сгорания составляли соответственно 2,18—2,75 и 0,52—0,75.

В одномерном приближении тепловыделение характеризуется распределением статического давления по длине канала. На рис. 1 представлены наиболее характерные режимы.

Номер точки рис. 1	α'	α''	α_Σ	Номер точки рис. 1	α'	α''	α_Σ
1	21,7	47,6	14,9	6	22,0	7,8	5,2
2	9,5	47,6	7,9	7	15,1	6,4	4,4
3	9,8	22,1	6,8	8	4,3	9,6	3,0
4	24,3	10,3	7,3	9	5,7	5,8	2,8
5	6,0	14,2	4,2	10	6,4	6,4	3,2

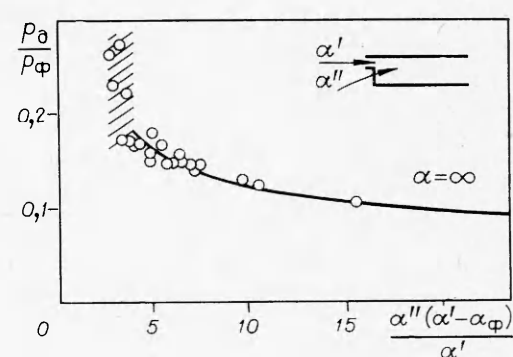


Рис. 4. Зависимость донного давления от распределенной подачи водорода ($\alpha_\Phi = 3,0$).

Для области течения (I+II) можно представить α_Φ как

$$\alpha_\Phi = \frac{G'_{\text{в}\Phi}}{\left(G''_{\text{H}_2} + \Delta G'_{\text{H}_2}\right) L_0}, \quad (2)$$

где $G'_{\text{в}\Phi}$ — воздух, фактически подмешанный в зону (I+II).

Долю подмешанного в форкамере водорода можно определить двояко

$$\Delta G'_{\text{H}_2} = \frac{G'_{\text{в}\Phi}}{\alpha' L_0}, \quad (3)$$

$$\Delta G'_{\text{H}_2} = \frac{G'_{\text{в}\Phi} - G''_{\text{в}\Phi}}{\alpha'_* L_0}. \quad (4)$$

Из уравнения баланса тепла получено выражение, характеризующее взаимосвязь режима с распределенной подачей с приведенным режимом.

$$\frac{1}{\alpha_{\text{пр}}} = \frac{1}{\alpha_\Sigma} - \frac{1}{\alpha'} + \frac{1}{\alpha'_*} \frac{\Delta G'_{\text{H}_2}}{G''_{\text{H}_2}}. \quad (5)$$

За приведенный режим принят такой гипотетический режим, при котором тепловыделение в канале такое же, как и в режиме с распределенной подачей. Для такого режима $\alpha_{\text{пр}}$ и соответствующий относительный подогрев определялись из рис. 3 по донному давлению, поскольку донное давление при прочих равных условиях однозначно характеризует тепловыделение (см. [3]).

Из уравнения (5) с учетом (1) — (4) можно определить

$$\alpha_{\text{пр}} = \frac{\alpha'' (\alpha' - \alpha_\Phi)}{\alpha'}. \quad (6)$$

Общеизвестно (см., например, [2]), что для диффузионных факелов в конце зоны горения при полном сгорании ($\eta=1$) коэффициент избытка воздуха $\alpha \approx 3$. Так, для водорода при $\eta=0,99$ $\alpha=2,95$, а для пропана $\alpha=2,86$. Если принять, как и для неограниченных диффузионных факелов, $\alpha_\Phi=3$, то зависимость относительного донного давления от приведенного коэффициента избытка воздуха носит обобщающий характер (рис. 4).

*Поступила в редакцию 6/II 1979,
после доработки — 4/IX 1980*

ЛИТЕРАТУРА

1. В. К. Баев, Г. В. Климчик и др. ФГВ, 1976, 12, 3.
2. К. Воль, К. У. Шипман. — В сб.: Процессы горения. Под ред. Б. Льюиса и др. М., 1964.
3. В. К. Баев, Г. В. Климчик и др. — В сб.: Физическая газодинамика. ИТПМ СО АН СССР. 1976.

«ИЗЭНТРОПА» РАЗГРУЗКИ НИТРОМЕТАНА

*A. A. Воробьев, K. M. Михайлюк
(Черноголовка)*

Нитрометан (НМ) широко используется при изучении процессов детонации как модельное взрывчатое вещество. Знание изэнтропы разгрузки НМ необходимо для расчетов времени задержки взрыва НМ за фронтом ударных волн с произвольным профилем давления, расчетов скорости распространения возмущений в ударно-сжатом веществе, оценки оптимальных размеров взрывных устройств, используемых в опытах.

Изэнтропу разгрузки НМ можно построить, определив зависимость лагранжевой скорости звука от давления:

$$c_{\text{JL}} = v_0 \cdot \sqrt{-(\partial p / \partial v)_s}, \quad (1)$$